

КООРДИНАЦИОННЫЕ  
СОЕДИНЕНИЯ

УДК 541.49:546.732:546.47

МОЛЕКУЛЯРНЫЕ КОМПЛЕКСЫ ХЛОРИДОВ И БРОМИДОВ КОБАЛЬТА(II)  
И ЦИНКА(II) С ПИПЕРИДИН-1-ИЛ ДИМЕТИЛКАРБАМОДИТИОАТОМ (L).  
КРИСТАЛЛИЧЕСКИЕ СТРУКТУРЫ L И [ZnLB<sub>2</sub>]

© 2011 г. И. И. Сейфуллина\*, Г. Н. Хитрич\*, А. В. Вологжанина\*\*

\*Одесский национальный университет им. И.И. Мечникова, Украина

\*\*Институт элементоорганических соединений им. А.Н. Несмеянова РАН, Москва

Поступила в редакцию 16.06.2009 г.

Синтезированы комплексы MX<sub>2</sub> (M = Co, Zn; X = Cl, Br) с пиперидин-1-ил диметилкарбамодитиоатом (L) состава [MLX<sub>2</sub>]. Соединения исследованы методами элементного и рентгеновского анализа, термогравиметрии, кондуктометрии, магнетохимии, ИК-, ЯМР<sup>1</sup>H и электронной спектроскопии. Установлено, что молекула лиганда координирована к атомам металлов бидентатно-циклически через тионный атом серы и сульфенамидный атом азота с образованием пятичлененного металлоцикла. Методом РСА установлены структуры соединений L и [ZnLB<sub>2</sub>].

Производные дитиокарбаминовой кислоты как хелатирующие полидентатные лиганды привлекают постоянно растущее внимание исследователей, работающих в области координационной химии. На их основе получено большое число координационных соединений различных типов, которые нашли широкое применение в современных технологиях [1]. К сожалению, это не относится к тиокарбамоилсульфенамидам, очевидно, из-за их низкой устойчивости при хранении [2, 3]. Наше внимание привлекла возможность ее увеличения за счет комплексообразования с ионами переходных металлов. Наличие в молекулах тиокарбамоилсульфенамидов активных донорных центров (S и N) и лабильной связи S–N позволило предположить возможность получения комплексов, которые будут отличаться по составу, электронному и геометрическому строению, обладать высокой термостабильностью, вулканизационной активностью, каталитическими и другими полезными свойствами.

В связи с этим цель настоящей работы заключалась в следующем: провести рентгеноструктурное исследование пиперидин-1-ил диметилкарбамодитиоата (L), синтезировать на его основе молекулярные комплексы хлоридов и бромидов кобальта(II) и цинка(II), изучить их состав, строение, свойства и определить структуру.

ЭКСПЕРИМЕНТАЛЬНАЯ ЧАСТЬ

В работе использовали CoCl<sub>2</sub> и CoBr<sub>2</sub>, полученные обезвоживанием CoCl<sub>2</sub> · 6H<sub>2</sub>O и CoBr<sub>2</sub> · 6H<sub>2</sub>O, ZnCl<sub>2</sub> · 1.5H<sub>2</sub>O, HBr, KI “ч. д. а.”, а также цинковую пыль, Br<sub>2</sub>, I<sub>2</sub>, N,N-диметилдитиокарбамат натрия и пиперидин “ч.”. Бромид цинка получали взаимодействием цинковой пыли с HBr и Br<sub>2</sub> [4]. Органические

растворители очищали стандартными способами [5]. L (1) синтезировали окислительной конденсацией N,N-диметилдитиокарбамата натрия и пиперидина в присутствии иода [6, 7].

Комплексы получали взаимодействием насыщенных растворов L в диэтиловом эфире и эквимолярных количеств CoCl<sub>2</sub> и CoBr<sub>2</sub> в ацетоне или ZnCl<sub>2</sub> и ZnBr<sub>2</sub> в диэтиловом эфире. Осадки, образующиеся сразу же после смешения растворов, отфильтровывали, промывали диэтиловым эфиром и высушивали на воздухе. Выход 61–82%.

Кобальт и цинк в соединениях определяли комплексонометрически [8], хлор, бром и серу – по Шенигеру, азот – по Дюма [9].

	N	S	Cl(Br)	Co(Zn)
Найдено, %:	8.49;	19.23;	21.16;	17.68.
Для C <sub>8</sub> H <sub>16</sub> N <sub>2</sub> S <sub>2</sub> Cl <sub>2</sub> Co (2)				
вычислено, %:	8.38;	19.19;	21.22;	17.63.
Найдено, %:	6.81;	15.23;	37.85;	13.87.
Для C <sub>8</sub> H <sub>16</sub> N <sub>2</sub> S <sub>2</sub> Br <sub>2</sub> Co (3)				
вычислено, %:	6.62;	15.16;	37.77;	13.93.
Найдено, %:	8.34;	18.97;	20.74;	19.23.
Для C <sub>8</sub> H <sub>16</sub> N <sub>2</sub> S <sub>2</sub> Cl <sub>2</sub> Zn (4)				
вычислено, %:	8.82;	18.83;	20.82;	19.19.
Найдено, %:	6.64;	15.02;	37.31;	15.18.
Для C <sub>8</sub> H <sub>16</sub> N <sub>2</sub> S <sub>2</sub> Br <sub>2</sub> Zn (5)				
вычислено, %:	6.52;	14.93;	37.20;	15.22.

Термическую устойчивость соединений изучали в платиновых тиглях на Q-дериватографе системы Paulik–Paulik–Erdey в воздушной среде в интервале 20–1000°C. Нагревание проводили со скоростью

**Таблица 1.** Кристаллографические данные и параметры уточнения структуры для соединений L и [ZnLBr<sub>2</sub>]

Соединение	<b>1</b>	<b>5</b>
Брутто-формула	C <sub>8</sub> H <sub>16</sub> N <sub>2</sub> S <sub>2</sub>	C <sub>8</sub> H <sub>16</sub> Br <sub>2</sub> N <sub>2</sub> S <sub>2</sub> Zn
M <sub>r</sub>	204.36	429.54
Сингония	Моноклинная	Ромбическая
Пр. гр.	P2 <sub>1</sub> /m	P2 <sub>1</sub> 2 <sub>1</sub> 2 <sub>1</sub>
T, К	100(2)	100(2)
a, Å	7.6401(13)	12.8057(10)
b, Å	6.9050(13)	12.8209(10)
c, Å	10.2956(16)	17.2678(14)
β, град	104.435(4)	90.00
V, Å <sup>3</sup>	526.0(2)	2835.0(4)
Z	2	8
F(000)	216	1680
ρ <sub>вып</sub> , г/см <sup>3</sup>	1.277	2.013
μ, мм <sup>-1</sup>	0.46	7.64
Форма кристалла, цвет	Бесцветная призма	Бесцветная призма
Размер кристалла, мм	0.28 × 0.18 × 0.16	0.46 × 0.26 × 0.18
Учет поглощения	—	Полуэмпирический по эквивалентам
T <sub>min</sub>	—	0.107
T <sub>max</sub>	—	0.256
Количество измеренных отражений	5264	33669
Количество независимых отражений	1650 ( <i>R</i> <sub>int</sub> = 0.030)	8222 ( <i>R</i> <sub>int</sub> = 0.085)
Количество наблюдаемых отражений ( <i>I</i> > 2σ( <i>I</i> ))	1429	6735
Количество параметров	67	275
<i>R</i> <sub>1</sub> (по <i>F</i> для отражений с <i>I</i> > 2σ( <i>I</i> ))	0.034	0.036
w <i>R</i> <sub>2</sub> (по <i>F</i> <sup>2</sup> для всех отражений)	0.093	0.074
GOOF	1.00	1.00
Весовая схема	$w^{-1} = \sigma^2(F_o^2) + (aP)^2 + bP$ , где $P = 1/3(F_o^2 + 2F_c^2)$	
A	0.050	0.022
B	0.23	0.00
Остаточная электронная плотность (max/min), е/Å <sup>3</sup>	0.43/−0.39	1.48/−0.73
Параметр Флэка		0.038 (8)

10 град/мин. Чувствительность ДТА и ДТГ составляла 1/5 от максимальной. В качестве эталона использовали Al<sub>2</sub>O<sub>3</sub>. Молярную электропроводность комплексов рассчитывали из значений сопротивлений их 0.001 М растворов в CH<sub>3</sub>CN, измеренных на цифровом измерителе L.C.R. E7-8 в стеклянной ячейке с платиновыми электродами, покрытыми платиновой чернью, при 25°C. Электронные спектры поглощения (ЭСП) растворов соединений в CH<sub>3</sub>CN снимали на спектрофотометре Specord UV VIS в кварцевых кюветах с толщиной поглощающего слоя 1 см. Спектры диффузного отражения (СДО) комплексов кобальта(II) в диапазоне 4000–25000 см<sup>−1</sup> за-

писывали на UV VIS NIR спектрофотометре Perkin-Elmer Lambda 9. Магнитную восприимчивость измеряли методом Гюи. Калибровку проводили по Co[Hg(CNS)<sub>4</sub>]. Диамагнитные поправки вводили по инкрементам, взятым из [10]. ИК-спектры поглощения образцов в таблетках с KBr записывали на спектрофотометре Specord 75 IR в интервале 400–4000 см<sup>−1</sup>. Спектры ЯМР <sup>1</sup>H растворов соединений кобальта(II) и цинка(II) в ацетоне регистрировали на спектрометре MSL-400 Bruker, внутренний стандарт – ТМС.

**РСА.** Бесцветные монокристаллы L и [ZnLBr<sub>2</sub>] получали перекристаллизацией из ацетона в атмо-

**Таблица 2.** Результаты термического анализа комплексных соединений

Соединение	Интервал температур по ТГ, °C	$t_{\max}$ по ДТА, °C	Суммарная потеря массы по ТГ, %
<b>1</b>	50–100	77(↓)	0
	120–410	200(↑), 210(↓)	87
<b>2</b>	50–210	155(↑)	0
	260–290	280(↓)	29
	320–380	340(↓)	51
	390–890	490(↓), 570(↓), 850(↑)	79
<b>3</b>	50–180	155(↑)	0
	220–280	265(↓)	21
	340–400	390(↓)	38
	430–820	460(↓), 570(↓), 750(↑)	88
<b>4</b>	50–270	190(↑)	17
	290–450	300(↓), 400(↑)	48
	500–820	620(↑), 750(↑)	85
<b>5</b>	50–280	150(↑)	17
	300–450	310(↓), 420(↑)	63
	480–780	590(↑), 710(↑)	93

сфере паров диэтилового эфира. Экспериментальный набор отражений получен на дифрактометре Bruker Apex II CCD area detector с графитовым монохроматором ( $\lambda MoK_{\alpha}$ -излучение,  $\omega$ -сканирование,  $2\theta_{\max} = 60^\circ$ ) при 100 К. Структуры решены прямым методом, все неводородные атомы локализованы в разностных синтезах электронной плотности и уточнены по  $F_{hkl}^2$  в анизотропном приближении. Атомы водорода помещены в геометрически расчитанные позиции и уточнены в модели “наездника” с  $U_{\text{изо}}(\text{H}) = 1.5 U_{\text{экв}}(\text{C})$  для метильных групп и  $1.2 U_{\text{экв}}(\text{C})$  для остальных атомов, где  $U(\text{C})$  – эквивалентный температурный фактор атома углерода, с которым связан соответствующий атом Н. Все расчеты проведены по комплексу программ SHELXTL PLUS 5 [11]. Кристаллографические данные и параметры уточнения структуры для соединений L и [ZnLBr<sub>2</sub>] приведены в табл. 1. Координаты атомов и температурные параметры депонированы в Кем-

бриджском банке структурных данных (CCDC № 732405 и 732406) и могут быть получены бесплатно через [www.ccdc.cam.ac.uk/conts/retrieving.html](http://www.ccdc.cam.ac.uk/conts/retrieving.html) (или от CCDC, 12 Union Road, Cambridge CB2 1EZ; fax: +44 1223 335 033; или deposit@ccdc.cam.ac.uk).

## РЕЗУЛЬТАТЫ И ИХ ОБСУЖДЕНИЕ

Согласно данным элементного анализа, получены продукты с мольным соотношением  $MX_2$  ( $M = \text{Co}, \text{Zn}; X = \text{Cl}, \text{Br}$ ): L, равным 1 : 1, хорошо растворимые в ацетоне, ацетонитриле, этаноле, ДМФА, ДМСО, хуже – в хлороформе и бензole, практически нерастворимые в воде.

В результате термогравиметрического исследования L и комплексов обнаружены существенные различия в их термическом поведении. Так, на кривой ДТА пиперидин-1-ил-диметилкарбамодитиоата при 77°C наблюдается эндотермический эффект без убыли массы (табл. 2), соответствующий плавлению. Последующие эффекты сопровождаются интенсивной убылью массы и указывают на практически полное разложение L.

В отличие от L, термолиз комплексов (табл. 2) протекает ступенчато.

Особенностью термолиза координационных соединений кобальта(II) является наличие на кривых ДТА при температуре 155°C четко выраженных необратимых экзотермических эффектов, для которых не зафиксирована убыль массы на соответствующих кривых ТГ. В то же время для комплексов цинка(II) подобные эффекты не наблюдаются.

Синтезированные комплексы охарактеризованы совокупностью физико-химических методов (табл. 3). Все они являются неэлектролитами [12].

При сравнении ЭСП L и комплексов обнаружено, что в последних отсутствует полоса низкой интенсивности, обусловленная переходом одного из неподеленной пары электронов, локализованных на тионном атоме серы, в возбужденное состояние на антисвязывающую  $\pi$ -орбиталь. Это указывает на координацию L к M через тионный атом серы.

В ЭСП комплексов наблюдается незначительный гипохромный эффект на полосах поглощения высокой интенсивности, свойственных производным дитиокарбаминовой кислоты [1] и относящихся к  $n \rightarrow \sigma^*$ -переходам в группе N=C=S и  $\pi \rightarrow \pi^*$ -переходам электронов со связывающей орбитали основного состояния на орбиталь с более высокой энергией в группе S=C=S соответственно.

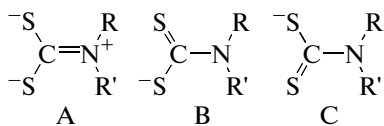
В СДО [CoLCl<sub>2</sub>] и [CoLB<sub>2</sub>] проявляются переходы  ${}^4A_2 \rightarrow {}^4T_1(P)$  в области 13800–16800 и 13800–17200  $\text{cm}^{-1}$ , а также  ${}^4A_2 \rightarrow {}^4T_1(F)$  в области 6100–7100 и 5900–7100  $\text{cm}^{-1}$  соответственно, что свидетельствует об их тетраэдрическом строении [13]. Комpleксы парамагнитны и являются высокоспиновыми (табл. 3). Более высокие величины

**Таблица 3.** Параметры ЭСП, значения молярной электропроводности в  $\text{CH}_3\text{CN}$  и эффективные магнитные моменты соединений при комнатной температуре

Соединение	$\lambda_{\max}$ , нм	$\lg \epsilon$	Переход	$\lambda$ , $\text{Ом}^{-1} \text{см}^2 \text{моль}^{-1}$	$\mu_{\text{эфф}}$ , М.Б.
<b>1</b>	345	1.87	$n \rightarrow \pi^*$	—	—
	279	3.95	$n \rightarrow \sigma^*$		
	235	3.96	$\pi \rightarrow \pi^*$		
<b>2</b>	690, 637, 595	2.36–2.65	${}^4A_2 \rightarrow {}^4T_1(P)$	108	4.66
	277	3.92	$n \rightarrow \sigma^*$		
	234	3.99	$\pi \rightarrow \pi^*$		
<b>3</b>	676, 621, 606	2.81–3.02	${}^4A_2 \rightarrow {}^4T_1(P)$	90	4.54
	278	4.02	$n \rightarrow \sigma^*$		
	234	4.12	$\pi \rightarrow \pi^*$		
<b>4</b>	278	3.81	$n \rightarrow \sigma^*$	96	—
	239	3.81	$\pi \rightarrow \pi^*$		
<b>5</b>	279	3.81	$n \rightarrow \sigma^*$	99	—
	239	3.79	$\pi \rightarrow \pi^*$		

$\mu_{\text{эфф}}$ , чем “чисто спиновое” значение (3.87 М.Б.), обусловлены орбитальным вкладом, который является функцией поля лигандов и симметрии комплексов. Температурная зависимость молярной магнитной восприимчивости в интервале температур 100–300 К для  $[\text{CoLBr}_2]$  подчиняется закону Кюри–Вейсса:  $\chi_M = \frac{2.807}{T + 23.2}$ , что указывает на моноядерный характер данного комплекса.

Молекула L содержит в качестве фрагмента диокарбамат, строение которого может быть представлено в виде трех канонических структур, различающихся протяженностью и кратностью связи C–N:



С учетом этого и с использованием концепции тиоамида полос [14–16] проведен сравнительный анализ ИК-спектров L и комплексов (табл. 4).

Обнаружено существенное смещение тиоамида полосы I в высокочастотную и незначительный сдвиг полосы IV в низкочастотную область при практически неизменном положении полос II, III и V. Это свидетельствует о повышении кратности связи C–N, преобладании полярной резонансной структуры А и вовлечении в координацию тионного атома серы. По данным ИК-спектроскопии достаточно сложно сделать вывод об участии сульфенамидного атома азота в образовании связи с M в рассматриваемых комплексах, поэтому был привлечен метод ЯМР  $^1\text{H}$  спектроскопии (табл. 5).

Установлено, что в спектре ЯМР  $^1\text{H}$  L наблюдается неэквивалентность протонов метильных групп у диокарбамильного атома азота, обусловленная

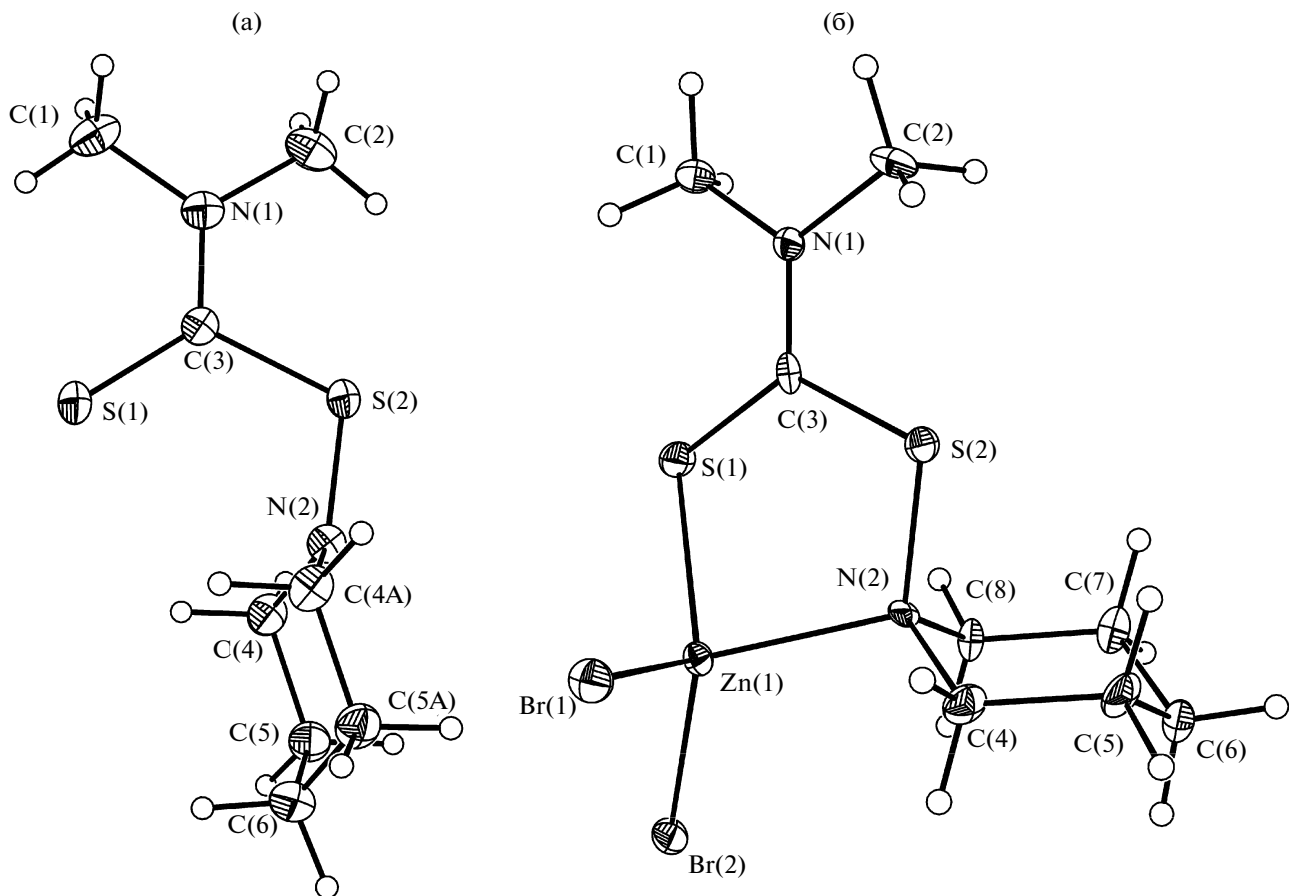
заторможенным вращением вокруг связи C(S)–N. Из-за ее дезэкранирующего влияния одна из метильных групп поглощает в виде уширенного синглета в более слабых полях, чем вторая. Это указывает на преобладание полярной резонансной структуры А. Вероятно, различия в значениях сигналов протонов метиленовых групп, расположенных непосредственно у атома азота пиперидинового кольца, связаны с их асимметричным положением по отношению к конусу магнитной анизотропии связи C=S.

В спектрах ЯМР  $^1\text{H}$  комплексов сигналы протонов метильных групп у диокарбамильного атома азота смещаются в слабое поле, при этом, как и для L, сохраняется их неэквивалентность. В то же время сигналы протонов метиленовых групп у сульфенамидного атома азота смещаются в сильное поле, что, вероятно, вызвано его участием в координации.

Из совокупности данных ИК- и ЯМР  $^1\text{H}$  исследований можно заключить, что в комплексах реализуется бидентатная координация L. Вместе с тем известно, что лиганды, содержащие тиоамиду группировку, при комплексообразовании

**Таблица 4.** Основные колебательные частоты ( $\text{см}^{-1}$ ) в ИК-спектрах соединений

Соединение	Тиоамида полосы				
	I	II	III	IV	V
<b>1</b>	1510	1245	1140, 1160	985	560
<b>2</b>	1525	1245	1140, 1160	970	560
<b>3</b>	1540	1245	1145, 1160	970	560
<b>4</b>	1535	1245	1140, 1160	970	560
<b>5</b>	1530	1245	1145, 1160	970	560



Вид L (а) и  $[ZnLBBr_2]$  (б, приведена одна из двух независимых молекул) в тепловых эллипсоидах. Эллипсоиды приведены с вероятностью 50%.

часто выступают как монодентатные N- либо S-лиганды. Поэтому строение комплексов было определено в результате рентгеноструктурного исследования L и  $[ZnLBBr_2]$  (рисунок, табл. 6).

Согласно полученным данным, длины одинарных связей C–N и C–C и углы в N,N-диметильном и пиперидиновом фрагментах стандартные [17]. Гетероцикл во всех случаях имеет конформацию “кресла”, хотя в обеих независимых молекулах  $[ZnLBBr_2]$  данный фрагмент инвертирован по сравнению с исходным лигандом относительно атома азота N(2) таким образом, чтобы стала возможной хелатная (S,N)-координация L (рисунок). Данный факт свидетельствует об одинарном характере связи S–N, что подтверждается значением ее длины (табл. 6) и пирамидальной геометрией заместителей при атоме азота N(2) (рисунок).

Атом цинка координирует лиганд L бидентатно-циклически с образованием пятичлененного металлокикла. Помимо атомов серы и азота L в координационную сферу цинка входят два монодентатных концевых иона брома. Координационный полизэдр

цинка — искаженный тетраэдр, деформация которого обусловлена разной природой координированных атомов. Наличие трех типов атомов окружения (Br, S, N) обусловливает как разную длину координационных связей, так и широкий диапазон валентных углов при атоме цинка. При этом наибольшие значения отмечены для валентных углов  $SZnBr$  и  $BrZnBr$ , которым отвечает максимальное отталкивание неподеленных электронных пар объемных атомов брома и серы, а наименьшие ( $\approx 90^\circ$ ) — для углов  $SZnN$  (табл. 6). Такое их значение, вероятно, можно объяснить стерическими ограничениями, вызванными тем, что атомы S и N принадлежат одному лиганду (в отличие от атомов брома, способных двигаться независимо от других лигандов), а также отталкиванием между атомами азота и брома. О возможности этого свидетельствует заметное уменьшение угла  $C(3)S(2)N(2)$  при координации L к цинку (табл. 6).

N,N-Диметилдитиокарбаматный фрагмент L является практически плоским как в свободном (выход атомов из плоскости  $C(1)–C(2)–N(1)–C(3)–S(1)–S(2)$  равен  $0.0(1)$  Å), так и в координированном (вы-

Таблица 5. Данные ЯМР  $^1\text{H}$  спектроскопии

Соединение	$\delta$ , м.д.
<b>1</b>	1.6 м (6Н, CH <sub>2</sub> -Pyp); 3.15 с (3Н, CH <sub>3</sub> ); 3.23 ш с (3Н, CH <sub>3</sub> ); 3.9 ш с, 4.1 ш с (4Н, CH <sub>2</sub> -Pyp)
<b>3</b>	1.2 ш с (6Н, CH <sub>2</sub> -Pyp); 32.7 с (3Н, CH <sub>3</sub> ); 37.7 ш с (3Н, CH <sub>3</sub> ); -19.2 с, -21.0 с (4Н, CH <sub>2</sub> -Pyp)
<b>4</b>	1.74 ш с (6Н, CH <sub>2</sub> -Pyp); 3.2 ш с (3Н, CH <sub>3</sub> ); 3.34 с (3Н, CH <sub>3</sub> ); 3.7 ш с, 3.9 ш с (4Н, CH <sub>2</sub> -Pyp)
<b>5</b>	1.8 ш с (6Н, CH <sub>2</sub> -Pyp); 3.32 ш с (3Н, CH <sub>3</sub> ); 3.5 с (3Н, CH <sub>3</sub> ); 3.75 ш с, 3.82 ш с (4Н, CH <sub>2</sub> -Pyp)

ход атомов равен 0.1(1) Å состояния. Длины связей N(1)-C(3) ( $\approx$ 1.3 Å) и C(3)-S(1) ( $\approx$ 1.7 Å) свидетельствуют об их кратном характере. Следовательно, геометрия N,N-диметилдитиокарбаматного фрагмента согласуется с данными ИК-спектроскопии о преобразовании полярной резонансной структуры А в некоординированном лиганде. Более того, координация L цинком приводит к выраженному (на 0.03–0.09 Å) удлинению связей C=S и N–S и укорочению (на 0.03 Å) связей C–N и C–S, что свидетельствует о сохранении структуры А.

Таким образом, данные РСА, ИК- и ЯМР  $^1\text{H}$  спектроскопии в случае L и [ZnLBr<sub>2</sub>] согласуются друг с другом. Следовательно, можно заключить, что

Таблица 6. Некоторые геометрические параметры структур L и [ZnLBr<sub>2</sub>]

Связь, Å	$d$ , Å	
	<b>1</b>	<b>5</b>
Zn(1)-Br		2.327(1)–2.362(1)
Zn(1)-S(1)		2.334(1)–2.327(1)
Zn(1)-N(2)		2.124(4)–2.139(4)
C3-S(1)	1.667(2)	1.698(5)–1.700(5)
C3-S(2)	1.799(2)	1.767(5)
C3-N(1)	1.334(2)	1.307(5)–1.315(5)
N(1)-C(sp <sup>3</sup> )*	1.463(3)–1.467(3)	1.450(6)–1.481(6)
S(2)-N(2)	1.655(2)	1.741(4)–1.743(4)
N(2)-C(sp <sup>3</sup> )	1.472(2)	1.502(6)–1.520(6)
ω, град		
Угол	<b>1</b>	<b>5</b>
Br(1)Zn(1)Br(2)		113.99(3)–114.42(3)
N(2)Zn(1)Br(2)		110.9(1)–112.3(1)
S(1)Zn(1)Br(1)		116.70(4)–115.60(4)
S(1)ZnN(2)		88.6(1)–90.5(1)
C(sp <sup>3</sup> )N(1)C(sp <sup>3</sup> )	114.7(2)	116.8(4)–117.5(4)
S(1)C(3)N(1)	124.6(1)	121.6(4)–122.4(3)
S(1)C(3)S(2)	121.2(1)	124.2(3)–124.7(3)
S(2)C(3)N(1)	114.2(1)	112.9(3)–114.2(4)
C(3)S(2)N(2)	108.3(1)	102.6(2)–103.9(2)

\* Символом C(sp<sup>3</sup>) обозначены атомы углерода метильных групп, связанных с атомом N(1), и атомы углерода пиперидинового цикла, связанные с атомом N(2).

комплексы кобальта(II) и цинка(II) изоструктурны с одинаковой бидентатно-циклической координацией пиперидин-1-ил диметилкарбамодитиоата через тионный атом серы и сульфенамидный атом азота.

Работа выполнена при финансовой поддержке Совета по грантам Президента Российской Федерации (МК-966.2008.3 и НШ-3019.2008.3).

## СПИСОК ЛИТЕРАТУРЫ

- Бырко В.М. Дитиокарбаматы. М.: Наука, 1984. 342 с.
- Игнатов В.А., Пирогов П.А., Жоркин Н.В., Акчурина Р.А. Химия производных сульфеновых кислот. Номенклатура, синтез, физические и химические свойства амидов сульфеновых кислот. М.: НИИТЭХИМ, 1970. 75 с.
- Блох Г.А. Органические ускорители вулканизации каучуков. Изд. 2-е, перераб. и доп. Л.: Химия, 1972. 560 с.
- Руководство по неорганическому синтезу. В 6 т. Т. 4. Пер. с нем. / Под ред. Браузера Г.М.: Мир, 1985. 447 с.
- Вайсбергер А., Проскауэр Э., Риддик Дж., Тупс Э. Органические растворители. Физические свойства и методы очистки. М.: Изд-во иностр. литер., 1958. 519 с.
- Хитрич Г.Н., Сейфуллина И.И., Хитрич Н.В. // Вісник Одеського нац. унів. Хімія. 2007. Т. 12. № 1. С. 78.
- Smith G.E.P., Alliger G., Carr E.L., Young K.C. // J. Org. Chem. 1949. V. 14. № 6. P. 935.
- Шварценбах Г., Флашка Г. Комплексонометрическое титрование. М.: Химия, 1970. 360 с.
- Климова В.А. Основные микрометоды анализа органических соединений. Изд. 2-е доп. М.: Химия, 1975. 224 с.
- Калинников В.Т., Ракитин Ю.В. Введение в магнетохимию. Метод статической магнитной восприимчивости в химии. М.: Наука, 1980. 302 с.
- Sheldrick G.M. SHELXTL. Ver. 5.10. Structure Determination Software Suite, Bruker AXS, Madison, Wisconsin, USA, 1998.
- Geary W.J. // Coord. Chem. Rev. 1971. V. 7. № 1. P. 81.
- Ливер Э. Электронная спектроскопия неорганических соединений. В 2 ч. Ч. 2. Пер. с англ. М.: Мир, 1987. 445 с.
- Rao C.N.R., Venkataraghavan R. // Spectrochim. Acta. 1962. V. 18. № 3. P. 541.
- Jensen K.A., Nielssen P.H. // Acta Chem. Scand. 1966. V. 20. № 3. P. 597.
- Daeescu C., Bacaloglu R., Ostrogovich G. // Bul. Sti. Tehn. Inst. Politehn. Timisoara. Ser. chim. 1973. V. 18. № 2. P. 121.
- Allen F.H., Kennard O., Watson D.G. et al. // J. Chem. Soc., Perkin Trans. 1987. V. 2. S1.